

مدل سازی تغییرات کاربری اراضی چندگانه با استفاده از رگرسیون انطباقی چند متغیره اسپلاین و سیستم اطلاعات مکانی

محمد احمدلو^۱، محمود رضا دلاور^{۲*}

^۱دانشجوی کارشناسی ارشد سیستم‌های اطلاعات مکانی - دانشکده مهندسی نقشه‌برداری و اطلاعات مکانی پردیس
دانشکده‌های فنی - دانشگاه تهران
m_ahmadlou@ut.ac.ir

^۲دانشیار دانشکده مهندسی نقشه‌برداری و اطلاعات مکانی - پردیس دانشکده‌های فنی - دانشگاه تهران
(قطب علمی مهندسی نقشه‌برداری در مقابل سوانح طبیعی)
mdelavar@ut.ac.ir

(تاریخ دریافت فروردین ۱۳۹۳، تاریخ تصویب خرداد ۱۳۹۴)

چکیده

لزوم بررسی تغییرات کاربری اراضی، با توجه به تاثیرات قابل ملاحظه‌ای که این پدیده بر روی زندگی انسان و همچنین محیط زیست می‌گذارد، امری لازم و ضروری به نظر می‌رسد. مدلسازان تغییرات کاربری اراضی عمدها به مدلسازی تغییرات کلاس‌های کاربری اراضی یگانه (مانند شهری) پرداخته اند و کمتر مدلسازی تغییرات کلاس‌های کاربری اراضی چندگانه (مانند کشاورزی و شهری) مورد توجه قرار گرفته است. در این تحقیق، به شبیه سازی تغییرات کاربری‌های اراضی شهری و کشاورزی با استفاده از یکی از فنون داده کاوی مرسوم، یعنی رگرسیون انطباقی چند متغیره اسپلاین، در تلفیق با سیستم اطلاعات مکانی و به کمک تصاویر ماهواره‌ای در بخشی از شمال ایران، شامل شهرهای ساری و قائم شهر و در یک بازه زمانی ۲۲ ساله از سال ۱۹۹۲ تا سال ۲۰۱۴ پرداخته شده است. بعد از انجام شبیه سازی، یک تحلیل حساسیت بر روی پارامترهای موثر در تغییر کاربری اراضی انجام شد. نتایج مربوط به تحلیل حساسیت نشان داد که پارامترهای فاصله از مناطق کشاورزی، فاصله از مناطق شهری و ارتفاع به ترتیب بیشترین تاثیر را در روند تغییر کاربری اراضی در بازه زمانی ذکر شده دارند. برای ارزیابی کارآیی مدل، از شاخص عامل نسبی و شاخص عامل کلی استفاده شد. مساحت زیر منحنی شاخص عامل نسبی برای کاربری‌های شهری و کشاورزی به ترتیب برابر با $65/10\%$ و $61/10\%$ بود. همچنین برای نشان دادن مقادیر موجود در داخل جداول احتمال، در منحنی شاخص عامل کلی مربوط به کاربری اراضی کشاورزی و شهری، حدود آستانه به ترتیب $67/0\%$ و $40/0\%$ برچسب گذاری شد که این حدود آستانه نشان دهنده احتمال تغییر کاربری اراضی هستند. طبق نتایج بدست آمده، درصد پیکسل‌هایی که در واقعیت دچار تغییر کاربری اراضی شده اند و توسط مدل نیز به عنوان پیکسل‌های تغییر یافته شناخته شده‌اند برای حدود آستانه فوق در نمودار شاخص عامل کلی، به ترتیب برابر با $36/8\%$ و $67/0\%$ از کل پیکسل‌های متعلق به دو کاربری کشاورزی و شهری بودند.

واژگان کلیدی: تغییرات کاربری اراضی، رگرسیون انطباقی چند متغیره اسپلاین، شاخص عامل نسبی، شاخص عامل کلی

* نویسنده رابط

۱- مقدمه

فنون داده کاوی برای کشف الگوهای پنهان در محركان تغییرات کاربری اراضی می‌تواند جهت مدلسازی تغییرات کاربری اراضی مورد استفاده قرار گیرند.

اهدافی که در این مطالعه دنبال می‌گردد عبارتنداز: ۱) شبیه سازی روند تغییرات کاربری اراضی در دوره زمانی ۲۲ ساله، بین سالهای ۱۹۹۲ تا سال ۲۰۱۴ در بخشی از شمال ایران، ۲) انجام تحلیل حساسیت برای تعیین مهمترین فاکتورهای موثر در تغییرات کاربری اراضی چندگانه و نهایتاً^۳ استفاده از شاخص عامل نسبی^۱ و شاخص عامل کلی^۲ که شاخص دوم توسط پونتیوس و سی در سال ۲۰۱۴ [۶] برای ارزیابی کارآبی مدلها ارائه شده و جهت مدلسازی تغییرات کاربری اراضی برای تغییرات کاربری اراضی چندگانه کمتر استفاده شده است.

۲- پیشینه تحقیق

اغلب مدلسازی‌هایی که در زمینه تغییرات کلاس‌های کاربری اراضی در سطح جهان انجام گرفته مربوط به تغییرات کلاس کاربری اراضی یگانه (غیر شهری به شهری و بالعکس) بوده و تحقیقات کمی به مدلسازی تغییرات کلاس‌های کاربری اراضی چندگانه پرداخته اند [۲]. به عنوان مثال در زمینه مدلسازی تغییرات کلاس‌های کاربری اراضی یگانه، می‌توان به مطرح شدن ایده کلی مدلسازی فیزیکی توسعه شهرها توسط پیجانویسکی و همکاران در سال ۱۹۹۷ [۷] و مدلسازی این پدیده توسط پیجانویسکی و همکاران در سال ۲۰۰۲ [۸] با استفاده از شبکه عصبی مصنوعی اشاره کرد. به همین ترتیب مدلسازی‌های زیادی تا به امروز در زمینه تغییرات کلاس‌های کاربری اراضی یگانه انجام شده است. در ایران نیز مدلسازی تغییرات کلاس‌های کاربری اراضی یگانه (توسعه شهری) انجام شده است [۹، ۱۰، ۱۱، ۱۲].

اما در زمینه مدلسازی تغییرات کلاس‌های کاربری اراضی چندگانه همانگونه که اشاره شد تحقیقات محدودی انجام شده است. لی و یه در سال ۲۰۰۲ [۱۳] از تلفیقی از شبکه عصبی مصنوعی و اتماتای سلولی برای مدلسازی تغییرات کلاس‌های کاربری اراضی چندگانه شامل گندم زارها، باغات، مکانهای توسعه، مناطق بشر ساخت، جنگل و

در چند دهه اخیر، مدلسازی تغییرات کاربری اراضی با توجه به اهمیت آن، مورد توجه محققان زیادی در سراسر جهان قرار گرفته است. عوامل زیادی در تغییرات کاربری اراضی دخالت دارند که در یک تقسیم‌بندی کلی می‌توان آنها را به عوامل جمعیتی (مانند پدیده مهاجرت از روستاهای به شهرها و رشد جمعیت)، عوامل اقتصادی، عوامل بیوفیزیکی (مانند ارتفاع و جنس خاک)، عوامل اجتماعی (مانند سیاست‌ها) و عوامل فرهنگی تقسیم کرد [۱]. عوامل مذکور به عنوان عوامل محرك برای تغییرات کاربری اراضی محسوب می‌شوند. اگر یک شهر به عنوان یک موجود زنده تصور شود، عوامل مذکور باعث تغییر رفتار این موجود می‌شوند و این عامل نیز به نوبه خود باعث تغییر روال زیست‌بوم می‌شود.

با تغییرات کاربری اراضی در یک منطقه ممکن است مسائل و مشکلاتی در چرخه آب و هوای منطقه، امنیت غذایی (با توجه به تخریب زمین‌های کشاورزی اطراف شهرها)، چرخه آب منطقه و زیست‌بوم طبیعی منطقه بوجود آید [۲]. با توجه به اثراتی که تغییرات کاربری در زندگی انسان و محیط زیست دارد لزوم بررسی این پدیده امری ضروری به نظر می‌رسد. برای بررسی روند تغییرات کاربری اراضی در یک منطقه نیاز به داشتن اطلاعاتی در مورد عوامل محرك تغییرات کاربری اراضی می‌باشد [۳]. این عوامل در طیف وسیعی از مقیاس‌های مکانی و زمانی و در یک روش غیر خطی عمل می‌کنند [۴] و این عامل باعث پیچیدگی فرآیند تغییر کاربری اراضی می‌شود [۵]. بنابراین به ابزارهای دقیق و پیشرفته برای مدلسازی این تغییرات نیاز می‌باشد. در زمینه مدلسازی تغییرات کلاس‌های کاربری اراضی یگانه (مثل تغییرات مربوط به کلاس‌های کاربری اراضی شهری و کشاورزی) تحقیقات محدودی انجام شده است و اغلب محققان به مدلسازی تغییرات کلاس کاربری اراضی یگانه (مثل تغییرات کلاس کاربری اراضی شهری) پرداخته‌اند [۲]. اما آنچه که در دنیای واقعی اتفاق می‌افتد مربوط به تغییرات کلاس‌های کاربری اراضی چندگانه است. مثلاً در عین حال که کاربری‌های کشاورزی تبدیل به کاربری شهری می‌شوند ممکن است کاربری‌های مربوط به جنگل هم تبدیل به کاربری کشاورزی شده باشند. در این راستا استفاده از

^۱ Receiver Operating Characteristics

^۲ Total Operating Characteristics

دادند. آنها به این نتیجه رسیدند که شبکه عصبی مصنوعی دارای دقت بهتری نسبت به دو مدل دیگر است ولی این بهبود دقت چندان هم قابل توجه نیست و هر سه مدل می‌توانند برای انجام مدلسازی تغییرات کاربری اراضی مورد استفاده قرار گیرند.

۳- محدوده و قلمرو تحقیق

ناحیه مورد مطالعه در این تحقیق بخشی از اراضی استان مازندران شامل شهرهای ساری (با طول جغرافیایی ۵۳ درجه و ۱ دقیقه و ۴۸ ثانیه شرقی و عرض جغرافیایی ۳۶ درجه و ۱۹ دقیقه و ۴۸ ثانیه شمالی) و قائم شهر (با طول جغرافیایی ۵۲ درجه و ۵۱ دقیقه و ۳۶ ثانیه شرقی و عرض جغرافیایی ۳۶ درجه و ۲۷ دقیقه و ۳۶ ثانیه شمالی) که مریبوط به زون ۳۹ شمالی سیستم تصویر UTM هستند، می‌باشد. جمعیت دو شهر ساری و قائم شهر در مجموع بر اساس آمارهای رسمی کشور در سال ۱۳۸۵ برابر با ۴۵۶۲۱۲ نفر بود که در سال ۱۳۹۱ این رقم به ۵۰۳۲۶۷ نفر رسیده بود که این رشد جمعیت می‌تواند ناشی از افزایش مهاجرت از روستاهای و همچنین شهرهای دیگر به این شهرها باشد.

۴- روش تحقیق

با توجه به پیچیدگی فرآیند مدلسازی تغییرات کاربری اراضی، استفاده کردن از ابزارهای غیر خطی همراه با سیستم اطلاعات مکانی می‌تواند مدلسازان تغییرات کاربری اراضی را در به تصویر کشیدن این فرآیند یاری کند. در واقع، فرآیند رایج در مدلسازی تغییرات کاربری اراضی به این صورت می‌باشد که بعد از انجام تصحیحات لازم روی تصاویر ماهواره‌ای، تمامی لایه‌های داده ای موثر در مدلسازی با استفاده از تحلیل های مکانی موجود در سیستم اطلاعات مکانی آماده می‌شوند. به عنوان مثال متغیرهای ورودی مدل‌ها، از قبیل فاصله از مناطق شهری، فاصله از مناطق کشاورزی، فاصله از جاده‌ها، فاصله از رودخانه، شیب و جهت با استفاده از تحلیل‌های مکانی در محیط سیستم اطلاعات مکانی آماده می‌شوند. همچنین ارزیابی دقت مدل حاصل شده نیز در محیط این سیستم انجام می‌شود.

آب استفاده کردند. وربگ و همکاران در سال ۲۰۰۲ [۱۴] از CLUE-S^۱ برای مدلسازی تغییرات کلاس‌های کاربری اراضی چندگانه شامل جنگل، مرتع، مزارع نارگیل و مزارع برنج استفاده کردند. بالستروز و همکاران در سال ۲۰۱۲ [۱۵] از تلفیقی از درخت تصمیم گیری J48 و اتوماتای سلوالی برای مدلسازی تغییرات کلاس‌های کاربری اراضی چندگانه شامل شهری، کشاورزی، جنگل، زمینهای خشک، تالاب و آب استفاده کردند. رالها و همکاران در سال ۲۰۱۳ [۱۶] از مدل عامل مبنا برای مدلسازی تغییرات کاربری‌های کشاورزی، شهری و جنگل استفاده کردند. طبیی و پیجانویسکی در سال ۲۰۱۴ [۲] سه فن داده کاوی شامل شبکه عصبی مصنوعی، درخت تصمیم گیری و رگرسیون و رگرسیون انطباقی چندمتغیره اسپلاین را برای مدلسازی تغییرات کلاس‌های کاربری اراضی شهری، کشاورزی و جنگل مورد استفاده قرار دادند. همچنین مطالعات محدودی نیز وجود دارند که فنون مختلف داده کاوی را در حیطه مدلسازی تغییرات کلاس کاربری اراضی با هم مقایسه کرده‌اند. در زمینه مدلسازی تغییرات کلاس‌های کاربری اراضی یگانه طبیی و همکاران در سال ۲۰۱۴ [۱۷] سه فن درخت طبقه بندی و رگرسیون^۲، رگرسیون انطباقی چند متغیره اسپلاین^۳ و همچنین شبکه عصبی مصنوعی را برای مدلسازی تغییرات کلاس‌های کاربری اراضی یگانه (یعنی توسعه شهری، توسعه کشاورزی و توسعه جنگل) در سه ناحیه از مناطق مختلف جهان با هم مقایسه کردند. آنها نتیجه گرفتند که شبکه عصبی مصنوعی و رگرسیون انطباقی چند متغیره اسپلاین دقت بهتری نسبت به درخت طبقه بندی و رگرسیون دارند ولی دقت‌ها خیلی نزدیک به هم هستند و هر سه مدل از دقت قابل قبولی برای مدلسازی تغییرات کلاس‌های کاربری اراضی برخوردارند. در زمینه مدلسازی تغییرات کلاس‌های کاربری اراضی چندگانه، طبیی و پیجانویسکی در سال ۲۰۱۴ [۲] باز سه فن شبکه عصبی مصنوعی، درخت کلاس‌بندی و رگرسیون و رگرسیون انطباقی چند متغیره اسپلاین را برای مدلسازی تغییرات کلاس‌های کاربری اراضی چندگانه (کلاس‌های کاربری اراضی شهری، کشاورزی و جنگل) با هم مورد مقایسه قرار

¹ Conversion of Land Use and its Effects

² Classification And Regression Tree

³ Multivariate Adaptive Regression Splines

تفکیک ۳۰ متر (طبق بررسی‌های میدانی به عمل آمده اکثر تغییرات کلاس‌های کاربری اراضی در این تحقیق بیش از ۹۰۰ متر مربع می‌باشد و بنابراین این قدرت تفکیک مناسب برای مدلسازی تغییرات می‌باشد و از طرفی دسترس بودن آسان داده‌ها نیز در انتخاب این تصاویر نیز تاثیرگذار بود) مربوط به سالهای ۱۹۹۲ و ۲۰۱۴ استفاده شد. این تصاویر از طریق پایگاه داده USGS^۲ بصورت زمین مرجع اخذ شد که تمامی تصحیحات رادیومتریک و هندسی روی این تصاویر اعمال شده بودند. برای کلاسه‌بندی تصاویر از روش احتمال بیشینه شباهت [۲۱] در نرم افزار ENVI 4.7 استفاده شد که دقت کلی^۳ این کلاسه‌بندی برای تصویر سال ۱۹۹۲ برابر با ۹۵/۵٪ و برای تصویر سال ۲۰۱۴ برابر با ۹۳/۳٪ بدست آمد. همچنین شاخص کاپا^۴ برای دو تصویر به ترتیب برابر با ۹۰/۸٪ و ۹۲/۶٪ حاصل شد. با توجه به اینکه دقت کلاسه‌بندی تصاویر در دقت مدلسازی تغییرات کاربری اراضی اثر دارد و از آنجایی که دقت کلی کلاسه‌بندی برای دو تصویر سال ۱۹۹۲ و ۲۰۱۴ بالای ۹۰٪ می‌باشد، لذا تاثیر کلاسه‌بندی تصاویر بر روی دقت مدلسازی کمتر از ۱۰٪ می‌باشد [۲۲]. کلیه لایه‌های داده که به عنوان ورودی مدل مورد استفاده قرار گرفته‌اند با استفاده از نرم افزار ArcGIS10 با فرمت شیپ فایل آماده شدند.

۴- ایده‌های موجود برای انجام طبقه‌بندی چندگانه

در حالت کلی برای انجام کلاسه‌بندی چندگانه دو ایده مطرح است. ایده اول این است که کلاسه‌بندی چندگانه به کلاسه‌بندی‌های دوگانه زیادی تجزیه شود و بعد هر کدام از این کلاسه‌بندی‌ها با استفاده از کلاسه‌بندی کننده‌های دوگانه به کلاسه‌بندی چندگانه تعمیم داده شود [۲]. برای ایده اول روش‌های مختلفی وجود دارد که در اینجا به صورت خلاصه تشریح شده‌اند (خوانندگان می‌توانند برای اطلاعات بیشتر به مرجع [۲۳] مراجعه کنند).

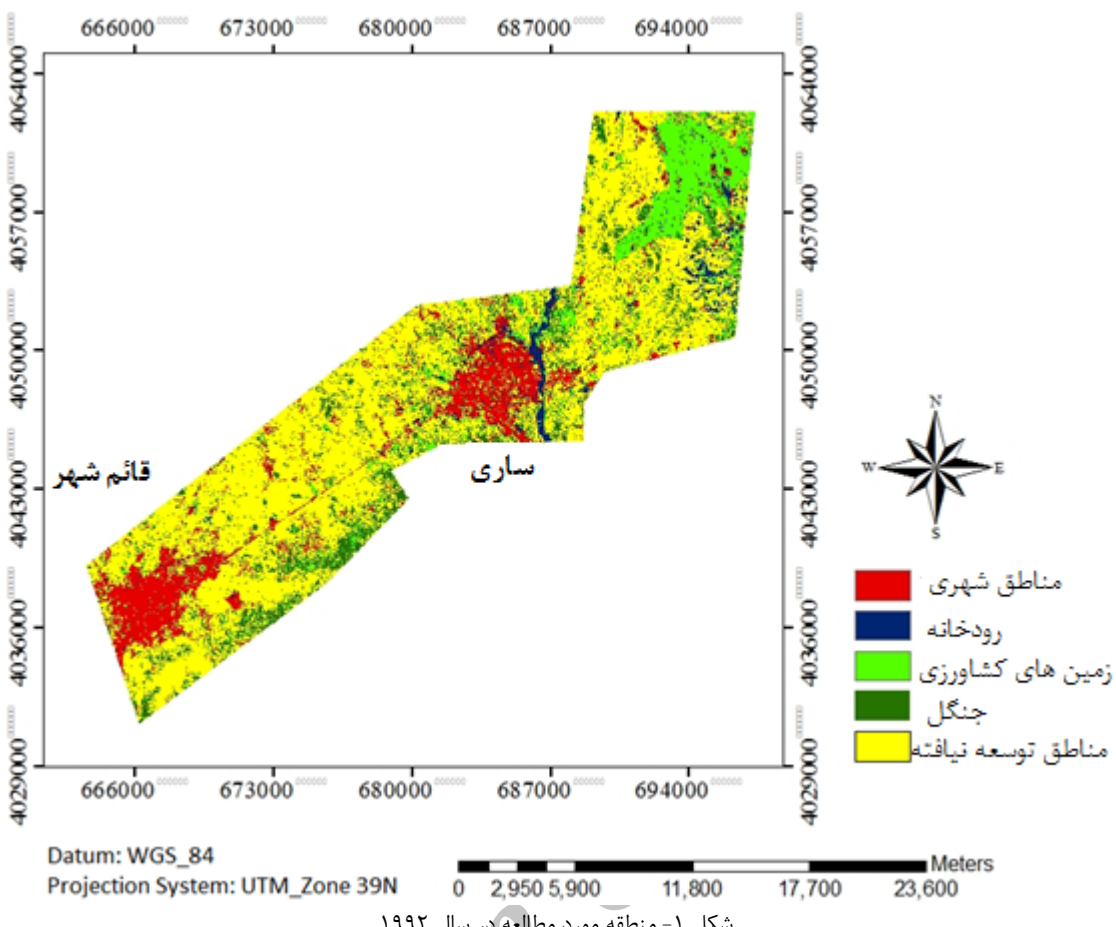
^۲ United States Geological Survey

^۳ Overall Accuracy: بیانگر یک شاخص کیفی کلان در کلاسه‌بندی است که بصورت یک مقدار متوسط در کل تصویر کلاسه‌بندی شده ارائه می‌شود و لروما نشان دهنده دقت در تمامی پیکسل‌ها یا کلاس‌های اطلاعاتی نیست.

^۴ Kappa Index

رگرسیون انطباقی چند متغیره اسپلاین یک روش غیرپارامتریک محلی است که نسبت به سایر مدل‌ها دارای مزایای زیر می‌باشد: ۱) این مدل در مقایسه با مدل‌های دیگر استفاده شده در زمینه مدلسازی تغییرات کاربری اراضی مانند رگرسیون منطقی، مدلی انعطاف‌پذیر می‌باشد زیرا ساختار مدل قبل از مدلسازی مشخص نیست و همچنین امکان تنظیم درجه تعامل بین متغیرهای ورودی وجود دارد (به عنوان مثال برای هر ترم مدل رگرسیون می‌توان از تعامل دو متغیر مستقل ورودی استفاده کرد و به جای برازش خط از سهمی استفاده نمود)، ۲) برخلاف دیگر مدل‌ها، مانند شبکه عصبی مصنوعی که ساختار مدل قابل تفسیر نیست (جعبه سیاه)، ساختار مدل رگرسیون انطباقی چند متغیره اسپلاین قابلیت تقسیم‌آماری بالایی دارد و ۳) این مدل نیازمند در نظر گرفتن فرض آماری بین متغیرها نیست (به عنوان مثال نرمال بودن داده‌ها قبل از انجام عمل مدلسازی اهمیتی ندارد). با در نظر گرفتن موارد فوق در این مطالعه از یک فن داده کاوی غیر پارامتریک محلی، یعنی رگرسیون انطباقی چند متغیره اسپلاین برای شبیه‌سازی تغییرات کلاس‌های کاربری اراضی چندگانه در بخشی از نواحی شمال ایران شامل شهرهای ساری و قائم شهر (شکل ۱) در بین سالهای ۱۹۹۲ و ۲۰۱۴ استفاده شد. همچنین در عمل مطالعات قبلی ذکر شده، به بحث تحلیل حساسیت توجه نشده است. از این‌رو، یک تحلیل حساسیت روی مجموعه‌ای از فاکتورهای تاثیر گذار روی مدلسازی تغییرات کاربری اراضی چندگانه در این تحقیق انجام شده است. فاصله از مناطق شهری، فاصله از مناطق کشاورزی، فاصله از جاده‌های اصلی، فاصله از رودخانه، ارتفاع، جهت و شیب به عنوان محركان تغییرات کاربری اراضی در نظر گرفته شدند که بر اساس مطالعات قبلی انجام شده در ایران این فاکتورها بیشترین تاثیر را در روند تغییرات کاربری اراضی دارا می‌باشند [۱۸، ۱۹]. برای انجام مدلسازی، داده‌ها با استفاده از روش نمونه برداری تصادفی طبقه‌بندی شده^۱ [۲۰] به دو دسته داده‌های آموزشی و داده‌های اعتبارسنجی تقسیم شدند. مشابه با سایر مدلسازی‌های انجام شده در تغییر کاربری اراضی [۲] از داده‌ها به عنوان داده‌های آموزشی و ۴۰٪ از آنها به عنوان داده‌های اعتبارسنجی در نظر گرفته شد. تصاویر ماهواره‌ای لندست ۷ و ۸ با قدرت

^۱ Stratified random sampling



شد [۲۵]. الگوریتم به این روش عمل می‌کند که ابتدا به هر کدام از کلاسها یک کد منحصر به فرد که طول آن باید بزرگتر یا مساوی با m باشد (برای مطالعه روش‌های مختلف کدگذاری کلاسها به مرجع [۲۵] رجوع شود) اختصاص داده می‌شود. وقتی کدها به تمامی کلاسها اختصاص داده شد، ماتریسی حاصل می‌شود که آنرا ماتریس کد می‌نامند. ابعاد این ماتریس n^*m می‌باشد که n نشان دهنده تعداد کلاسها و m نشان دهنده طول کد اختصاص داده شده به هر کدام از کلاسها می‌باشد. بعد از این مرحله در هر یک از ستونهای ماتریس کد، m طبقه‌بندی کننده‌ی دوگانه ایجاد شده که کلاسها را به مسائل دوگانه تبدیل می‌نمایند. بعد از این مرحله طبقه‌بندی کننده‌ها شروع به یادگیری می‌کنند. بعد از یادگیری اگر یک کد به طول m به طبقه‌بندی کننده‌ها تخصیص داده شود هر کدام یک خروجی ارائه می‌دهند که در آن، کلاسی به عنوان کلاس کد ورودی در نظر گرفته می‌شود که کمترین فاصله را با هر کدام از کدهای مربوط به کلاسها داشته باشد.

(۱) One-Vs-All: در این روش که ساده‌ترین روش تجزیه کلاسه‌بندی چندگانه به کلاسه‌بندی دوگانه می‌باشد، در هر مرحله از مدلسازی یک کلاس با $n-1$ کلاس دیگر مقایسه می‌شود (n نشان دهنده تعداد کلاسها می‌باشد). بدین ترتیب نیاز به n کلاسه‌بندی کننده باینری، وجود دارد. در عمل با توجه به این که یک کلاس تعداد اعضای بسیار کمی نسبت به $n-1$ کلاس دیگر دارد، فرآیند یادگیری در این روش بسیار سخت می‌باشد [۲۶].

(۲) All-Vs-All: در این روش به مقایسه دو به دوی تمامی کلاسها در کلاسه‌بندی چندگانه پرداخته می‌شود. بدین ترتیب به $\binom{n}{2}$ کلاسه‌بندی دوگانه نیاز می‌باشد. از ضعف‌های این روش می‌توان به تعداد زیاد طبقه‌بندی کننده‌های باینری اشاره کرد [۲۳].

(۳) روش کدهای خروجی تصحیح کننده خطای ECOC^۱: این روش به عنوان یک ایده کلی برای تجزیه کلاس‌های چندگانه به کلاس‌بندی دوگانه مطرح

^۱ Error-Correcting Output-Coding

مدلهای غیر پارامتریک مطرح می‌شود که از این دسته از مدلها می‌توان به رگرسیون انطباقی چند متغیره اسپلاین اشاره کرد. همچنین اگر مدل استفاده شده از تمام داده‌های مربوطه به صورت یکجا برای مدلسازی استفاده کند مدل را کلی و اگر داده‌ها به زیر مجموعه‌هایی تقسیم کرده و بعد عمل مدلسازی را برای هر کدام از این زیر مجموعه‌ها انجام دهد مدل را محلی می‌نامند [۱۷].

رگرسیون انطباقی چندمتغیره اسپلاین یکی از مدلها غیر پارامتریک محلی هست که برای اولین بار توسط فردمان در سال ۱۹۹۱ [۲۷] ارائه شد. با توجه به اینکه تغییرات کاربری اراضی در یک روش غیر خطی عمل می‌کند، این روش می‌تواند بدون در نظر گرفتن هیچ فرض آماری بین متغیرهای پیش‌بینی کاربری اراضی (همان محركان تغییرات) و متغیر هدف (که همان کلاس کاربری اختصاص داده شده به هر کدام از سلولها است) اقدام به مدلسازی روابط غیر خطی بین این متغیرها نماید [۲۶]. در قیاس با سایر مدل‌های غیر خطی که فقط یک مجموعه از ضرایب را به داده‌ها اعمال می‌کنند این روش با برآش دادن توابع چندجمله‌ای منطقه‌ای جدأگانه برای هر یک از زیرمجموعه از داده‌ها اقدام به تشخیص الگوهای پیچیده می‌نماید [۱۷] در واقع این روش داده‌ها را به زیر مجموعه‌هایی تقسیم کرده و متناسب با پیچیدگی داده‌ها در هر ناحیه اقدام به برآش توابع بنام توابع پایه می‌نماید. این روش می‌تواند با یک فرآیند دو مرحله‌ای اقدام به مدلسازی تغییرات کاربری اراضی نماید [۲۶]. مرحله اول، مرحله حرکت به سمت جلو می‌باشد. در این مرحله مدل ابتدا فقط با استفاده از یک ترم ثابت شروع می‌شود (که در واقع میانگین مقادیر متغیر هدف یا همان کلاس کاربری اراضی مربوط به پیکسل‌ها است) و بعد به صورت مکرر توابع پایه را برای مدل کردن داده‌ها به ترم ثابت اضافه می‌کند. در مرحله اضافه کردن توابع پایه، مدل توابع پایه‌ای را به معادله اضافه می‌کند که بیشترین کاهش را در مجموع مربعات خطاهای باقی مانده ایجاد کنند. حرکت رو به سمت جلو اغلب باعث ایجاد پیش برآش^۲ به داده‌ها می‌شود. در حقیقت مدلی ایجاد می‌شود که دارای بیشترین برآش به داده‌هایی است که در فرآیند مدلسازی دخیل بوده‌اند اما برای داده‌هایی که در فرآیند

برای ایده دوم (تعمیم کلاسه‌بندی دوگانه به کلاسه‌بندی چندگانه) می‌توان از طرح کدگذاری داده کاوی استفاده نمود [۲] برای انجام این کار دو روش زیر وجود دارد:

۱- کدگذاری One-per-Class: در این حالت می‌توان از n خروجی باینری به جای یک خروجی باینری استفاده کرد که هر کدام از خروجی‌های دوگانه برای جداسازی داده‌های مربوط به یک کلاس به کار گرفته می‌شود. به عنوان مثال در شبکه عصبی مصنوعی برای مدلسازی تغییرات کاربری چندگانه می‌توان به جای داشتن یک نقطه گرهی^۱ خروجی دوگانه که نشان دهنده تغییر یا عدم تغییر کلاس کاربری داده شده می‌باشد، از تعداد n نقطه گرهی خروجی دوگانه متناسب با n کلاس کاربری استفاده کرد.

۲- کدگذاری توزیع یافته: در این نوع کدگذاری برای هر کدام از کلاسها یک کد منحصر به فرد از ۱ تا n اختصاص داده می‌شود. بعد از فرآیند یادگیری، در مرحله آزمایش با استفاده از مدل مورد نظر، کد محاسبه شده برای یک نمونه آزمایشی با هر کدام از کدهای مربوط به کلاسها مقایسه شده و کدی به عنوان کلاس نمونه انتخاب می‌شود که کمترین فاصله را از آن داشته باشد.

در این مطالعه از کدگذاری توزیع یافته از روش‌های مربوط به ایده دوم برای کدگذاری کلاسها کاربری اراضی استفاده گردید. برای هر کدام از کلاسها کاربری شهری و کاربری کشاورزی به ترتیب کدهای ۱ و ۲ اختصاص داده شد. در بخش‌های زیر به تشریح مدل رگرسیون انطباقی چندمتغیره اسپلاین و شاخص‌های اهمیت متغیرها و همچنین شاخص‌های ارزیابی مدلها پرداخته شده است.

۴- رگرسیون انطباقی چندمتغیره اسپلاین

در یک تقسیم‌بندی کلی می‌توان فنون داده کاوی را به دو دسته کلی مدل‌های غیر پارامتریک محلی و مدل‌های پارامتریک کلی تقسیم کرد [۱۷]. ترم پارامتریک به این معنی می‌باشد که ساختار مدل قبل از اینکه عمل مدلسازی انجام شود مشخص و معلوم هست، مثال‌های مدل فوق شبکه عصبی مصنوعی و رگرسیون منطقی هستند. در مقابل اگر ساختار مدل قبل از مدلسازی معلوم نباشد

^۲ Over fitting

^۱ Node

اگر عبارت داخل برآکت بزرگتر از صفر بود نتیجه خود عبارت داخل برآکت می‌شود در غیر این صورت نتیجه برآبر با صفر خواهد بود یعنی [۲۶]:

$$[S_{i,m}(X_{v(i,m)} - t_{i,m})]_+^q = \begin{cases} [S_{i,m}(X_{v(i,m)} - t_{i,m})]^q & S_{i,m}(X_{v(i,m)} - t_{i,m}) > 0 \\ 0 & \text{otherwise} \end{cases} \quad (3)$$

اعتبارسنجی متقاطع تعمیم‌یافته که بهترین مدل رگرسیون بر اساس آن انتخاب می‌شود نیز طبق رابطه (۴) حاصل می‌شود [۲۶]:

$$\frac{(1/n) \sum_{i=1}^n [y_i - \hat{f}(X_i)]^2}{[1 - (C(M)/n)]^2} \quad (4)$$

که در این معادله y_i مقادیر واقعی کلاس مورد نظر، $\hat{f}(X_i)$ مقدار تخمین زده شده برای مقادیر واقعی کلاس مورد نظر، n تعداد کل مشاهدات و $C(M)$ معیار هزینه-جریمه یک مدل است که شامل M تابع پایه می‌باشد. به عبارت دیگر $C(M)$ تعداد موثر درجه آزادی است که به موجب آن اعتبارسنجی متقاطع تعمیم‌یافته یک جریمه را برای اضافه کردن متغیرهای ورودی بیشتر به مدل اضافه می‌کند. $C(M)$ از رابطه (۵) محاسبه می‌شود [۱۷]:

$$C(M) = M \times d \quad (5)$$

d هزینه برای هر کدام از توابع می‌باشد. در واقع صورت کسر در معادله (۴)، عدم برازش در M تابع برازش به داده‌ها را نشان می‌دهد و مخرج کسر جریمه برای پیچیدگی مدل را نشان می‌دهد [۲۶].

Salford Predictive Modeler فرآیند مدلسازی در نرم افزار [۱۷] اجام شد. بقیه مراحل کار در نرم افزار متلب پیاده شد. با توجه به پیچیدگی منطقه از درجه تعامل ۲ برای انجام مدلسازی استفاده گردید. یعنی در معادله (۲) $q=2$ انتخاب گردید و به ترمehایی از نوع سهمی اجازه وارد شدن در معادله رگرسیون داده شد. ضرائب، متغیرها و گرهها در مدل رگرسیون انطباقی چند متغیره اسپلاین تشکیل شده مطابق با جدول (۱) می‌باشد. طبق این جدول معادله رگرسیون کلی دارای ۱۹ ترم می‌باشد که ترم صفر نشان دهنده مقدار ثابت معادله رگرسیون است. تعامل بین متغیرهای ورودی که مقدار دو برای آن انتخاب شده بود را می‌توان در توابع پایه ۳، ۴، ۷، ۸، ۹، ۱۰، ۱۱، ۱۴، ۱۵، ۱۶، ۱۷، ۱۸ و ۱۹ مطابق با جدول (۱) مشاهده کرد.

مدلسازی شرکت نکرده باشند برازش خوبی ندارد. برای ساختن مدلی که قابلیت انعطاف بیشتر برای همه داده‌ها باشد نیاز به مرحله دوم یعنی مرحله حرکت به سمت عقب می‌باشد. در واقع مرحله حرکت به سمت عقب برای هرس کردن مدل و حذف توابع پایه‌ای که کمترین اثر را در فرآیند مدلسازی دارند می‌باشد. برای مشخص کردن زیر مدل‌هایی که کمترین اثر را در مدلسازی دارند از اعتبارسنجی متقاطع تعمیم‌یافته^۱ استفاده می‌شود.

اعتبارسنجی متقاطع تعمیم‌یافته تعاملی بین برازش و پیچیدگی مدل است به این صورت که در مرحله حرکت به سمت جلو با اضافه شدن توابع پایه، برازش مدل به داده‌ها افزایش پیدا کرده و به تبع آن پیچیدگی مدل نیز بیشتر می‌شود. ولی در مرحله حرکت به سمت عقب، با حذف توابع پایه‌ای که کمترین سهم را در مدلسازی دارند میزان برازش کمتر شده ولی پیچیدگی مدل کاهش پیدا می‌کند. رگرسیون انطباقی چندمتغیره اسپلاین طبق معادله (۱) انجام می‌شود [۲۶]:

$$\hat{Y} = \hat{f}(X) = a_0 + \sum_{m=1}^M a_m B_m(X) \quad (1)$$

در این معادله a_0 یک مقدار ثابت می‌باشد، M تعداد ترم‌های غیر صفر (یا همان گره‌ها که توابع پایه در آنها تقسیم می‌شوند) می‌باشد، a_m همان ضرایب مربوط به m امین تابع پایه و $B_m(X)$ m امین تابع پایه برای مدل است که طبق معادله (۲) محاسبه می‌شود:

$$B_m(X) = \prod_{i=1}^{K_m} [S_{i,m}(X_{v(i,m)} - t_{i,m})]_+^q \quad (2)$$

K_m درجه تعامل بین متغیرها در m امین تابع پایه می‌باشد. $X_{v(i,m)}$ و $S_{i,m} = \pm 1$ متغیر «امی» می‌باشد که در آن $i \leq k$ و $k \leq v$ (i, m) تعداد کل متغیرهای ورودی می‌باشد. $t_{i,m}$ مکان گره، در هر یک از متغیرهای پیش‌بینی متغیر وابسته می‌باشد، q توان توابع پایه می‌باشد، به عنوان مثال برای $q=1$ یک اسپلاین خطی ساده به داده‌ها اعمال می‌شود. اندیس $+$ به معنی اخذ بخش مثبت عبارت داخل برآکت می‌باشد به این معنی که

^۱ Generalized Cross-Validation

جدول ۱- ضرایب، متغیرها و گره ها در مدل رگرسیون انطباقی چند متغیره اسپلاین

تولید پایه	ضرایب	متغیرهای تقسیم شونده	علامت متغیر شونده	متغیر والد	متغیر والد	گره (متر)
۰	-۰/۴۸۹۵۷۳					
۱	-۰/۰۰۰۷۷۶	فاصله از مناطق کشاورزی	+			۱۳۴/۱۶۴۱
۲	-۰/۰۰۰۶۴۴	فاصله از مناطق کشاورزی	-			۱۳۴/۱۶۴۱
۳	-۰/۰۰۰۰۱	فاصله از روخدانه	+	+		۹۵۱۲/۰۳۵۲
۴	-۰/۰۰۰۰۱	فاصله از روخدانه	-	-		۹۵۱۲/۰۳۵۲
۵	-۰/۰۰۵۵۸۲	ارتفاع	+			-۸/۰۰۰۰
۶	-۰/۰۵۲۶۱۰	ارتفاع	-			-۸/۰۰۰۰
۷	-۰/۰۰۰۱۰۰	فاصله از مناطق شهری	+	+	ارتفاع	۶۰/۰۰۰۲
۸	-۰/۰۰۰۲۷۴	فاصله از مناطق شهری	+	-	ارتفاع	۶۰/۰۰۰۲
۹	-۰/۰۰۰۹۶	فاصله از مناطق شهری	+	+	ارتفاع	۱۵۰/۰۰۰۰
۱۰	-۰/۰۰۰۱۰	فاصله از مناطق کشاورزی	+	-	ارتفاع	۱۲۰/۰۰۰۰
۱۱	-۰/۰۰۰۰۲۹	فاصله از مناطق کشاورزی	+	+	ارتفاع	۱۲۰/۰۰۰۰
۱۲	-۰/۰۰۰۰۷۴	فاصله از مناطق شهری	-			۷۲۶/۲۲۳۱
۱۳	-۰/۰۰۰۲۴۷	فاصله از مناطق شهری	+			۷۲۶/۲۲۳۱
۱۴	-۰/۰۰۰۰۱	فاصله از مناطق کشاورزی	-	-	فاصله از مناطق شهری	۳۰/۰۰۰۰
۱۵	-۰/۰۰۰۰۰۲	فاصله از مناطق کشاورزی	+	+	فاصله از مناطق شهری	۳۰/۰۰۰۰
۱۶	-۰/۰۰۰۰۱	فاصله از روخدانه	+	-	فاصله از مناطق شهری	۱۶۴۱۲/۰۳۷۱
۱۷	-۰/۰۰۰۰۱	فاصله از روخدانه	+	+	فاصله از مناطق شهری	۱۶۴۱۲/۰۳۷۱
۱۸	-۰/۰۰۰۰۱	فاصله از روخدانه	+	-	فاصله از مناطق شهری	۱۱۱۳۰/۰۴۰۰

توضیحات داده شده معادله رگرسیون انطباقی چند متغیره اسپلاین متشکل از ترم های ۰، ۱، ۲ و ۳ مطابق با معادله (۶) می باشد:

$$Y = 0.489573 + 0.000776 \times (X_1 - 134.1641) - 0.000644 \times (134.1641 - X_1) + 0.000001 \times (X_2 - 9512.0352) \quad (6)$$

در این معادله متغیر Y همان کلاس های کاربری اراضی (متغیر هدف) است که با توجه به کدگذاری توزیع یافته کلاس های کاربری اراضی (۰ برای عدم تغییر کلاس کاربری اراضی، ۱ برای کلاس کاربری اراضی شهری و ۲ برای کلاس کاربری اراضی کشاورزی) مقدادیر بین ۰ تا ۲ را می گیرد که مقدادیر نزدیک به ۰ نشان دهنده تمایل سلولها برای عدم تغییر کاربری اراضی و مقدادیر نزدیک به ۱ نشان دهنده تمایل سلولها برای تغییر به کلاس کاربری اراضی شهری و مقدادیر نزدیک به ۲ نشان دهنده تمایل سلولها برای تغییر به کلاس کاربری اراضی کشاورزی

مقادیر هر کدام از متغیرها در این جدول در یک مقدار ثابت تقسیم می شوند که این مقدار همان گره برای آن متغیر است. به عنوان مثال تابع پایه یک، دارای یک متغیر، یعنی فاصله از مناطق کشاورزی (X_1)، می باشد که این متغیر در مقدار ۱۳۴/۱۶۴۱ متر تقسیم می شود و علامت خود متغیر مثبت بوده و ضریب این ترم $+0/۰۰۰۷۷۶$ است. تابع پایه دوم نیز دارای یک متغیر (فاصله از مناطق شهری) بوده و در همان مقدار ۷۲۶/۲۲۳۱ متر تقسیم شده ولی علامت متغیر برخلاف ترم یک منفی بوده و دارای ضریب $-0/۰۰۰۶۴۴$ می باشد. در تابع پایه سوم همانطور که قبل اشاره شد دو متغیر، یعنی فاصله از روخدانه (X_2) و فاصله از مناطق کشاورزی (حضور دارند (درجه تعامل ۲) که فاصله از روخدانه در مقدار ۹۵۱۲/۰۳۵۲ متر تقسیم شده و دارای علامت مثبت می باشد و متغیر فاصله از مناطق کشاورزی به عنوان متغیر والد در نظر گرفته شده که دارای علامت مثبت بوده و در متغیر فاصله از روخدانه ضرب می شود. ضریب این دو متغیر $-0/۰۰۰۰۰۱$ می باشد. طبق

خروجی‌ها می‌باشد [۱۷]. همانطور که در نمودار مربوط به شکل (۴) مشاهده می‌شود ترم متشكل از دو فاکتور فاصله از مناطق شهری و ارتفاع با انحراف معیار 0.27 (معیار همان عدد مربوط به کلاس کاربری متشكل از دو فاکتور فاصله از مناطق شهری و ارتفاع با انحراف معیار 0.27 (معیار همان عدد مربوط به کلاس کاربری اراضی می‌باشد) دارای بیشترین انحراف معیار و ترم متشكل از دو فاکتور ارتفاع و فاصله از مناطق کشاورزی با انحراف معیار 0.05 ، دارای کمترین انحراف معیار می‌باشد و به ترتیب دارای بیشترین و کمترین قدرت توضیحی و تبیینی برای توصیف ارتباط بین خروجی‌ها و ورودی‌ها می‌باشد [۲]. تعیین درجه اهمیت متغیرها و انحراف معیار آنها در نرم افزار Salford Predictive Modeler انجام شده است. در این نرم افزار درجه اهمیت متغیرها بر حسب درصد ارائه شده است.

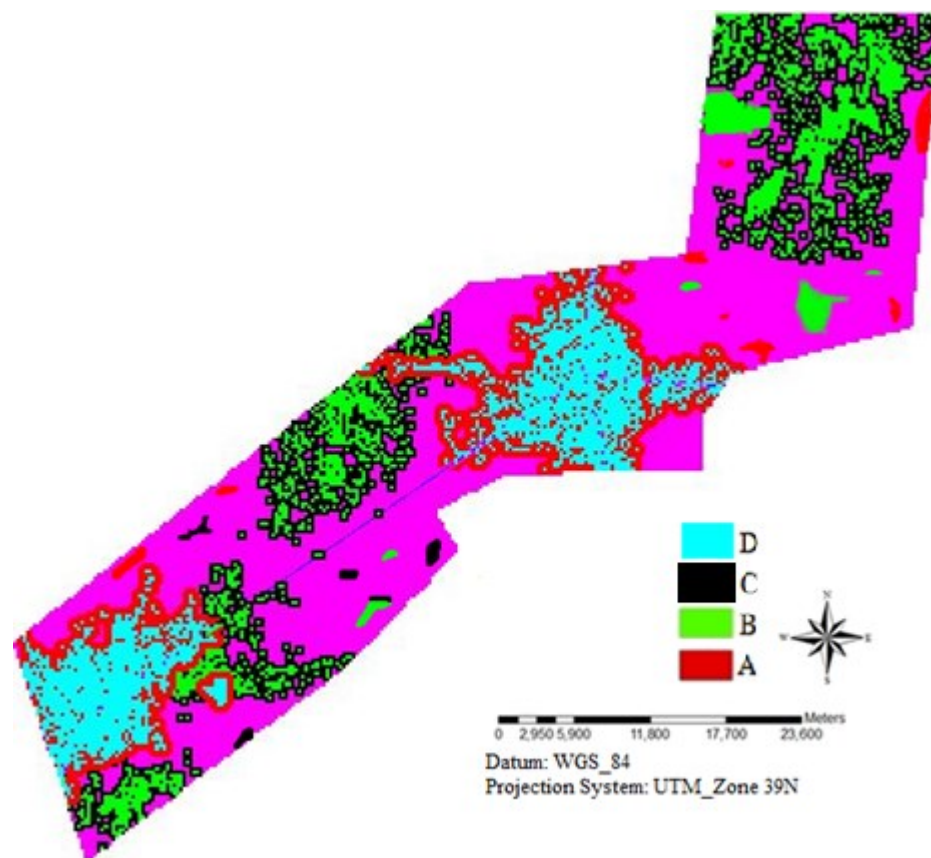
۴-۴- ارزیابی نتایج بدست آمده

شاخص‌های کالibrاسیون برای ارزیابی دقت و کارآیی مدل به کار رفته، استفاده می‌شوند. خروجی یک مدل شبیه‌سازی تغییرات کاربری اراضی، یک نقشه‌تناسب می‌باشد که احتمال تغییرکاربری را برای پیکسل‌های مختلف با توجه به تغییرات کاربری اراضی نشان می‌دهد. اما آنچه که باید برای ارزیابی کارآیی مدل، با نقشه تغییرات واقعی (نقشه مرجع که از مقایسه تصاویر در دو بازه زمانی متولی بدست می‌آید و نقش متغیر هدف را در مدلسازی ایفا می‌کند) مقایسه شود، نقشه شبیه‌سازی شده می‌باشد که با اعمال حد آستانه به نقشه تناسب حاصل می‌شود. پیداکردن یک حد آستانه مناسب برای نقشه تناسب با توجه به ویژگی‌های منطقه مورد مطالعه و ساختار مدل کار دشواری است [۶]. در این مقاله از شاخص عامل نسبی و شاخص عامل کلی برای ارزیابی کارآیی مدل رگرسیون انطباقی چند متغیره اسپلاین استفاده شده است که هر دوی آنها از حدود آستانه مختلف برای انجام فرآیند ارزیابی مدل استفاده می‌کنند.

می‌باشند. در سمت راست معادله نیز متغیرهای مستقلی وجود دارند که برای مدلسازی متغیر وابسته Z به کار رفته‌اند. به همین ترتیب می‌توان معادله کلی شامل همه 19 تابع پایه موجود در جدول (۱) را تشکیل داد. هدف اصلی در این مطالعه شبیه‌سازی تغییرات کاربری اراضی چندگانه برای یک دوره 22 ساله و استخراج مهمترین فاکتورهای موثر در این تغییرات بوده است، اما می‌توان مدل بدست آمده برای این بازه زمانی را به متغیرهای مستقل موثر در تغییرات کاربری اراضی در سال 2014 اعمال کرده و نقشه تغییرات کاربری اراضی را برای سال 2036 پیش‌بینی کرد (شکل (۴)). با این حال ممکن است تاثیر متغیرهای مستقل در نظر گرفته شده در تغییرات کاربری اراضی در دو بازه زمانی یکسان نباشد. همانطور که در شکل (۴) مشاهده می‌شود اکثر سلول‌های توسعه یافته شهری و کشاورزی به ترتیب در نزدیکی مناطق شهری و زمین‌های کشاورزی رخ می‌دهند.

۴-۳- روش شناسایی محركان کاربری اراضی پر اهمیت در فرآیند مدلسازی

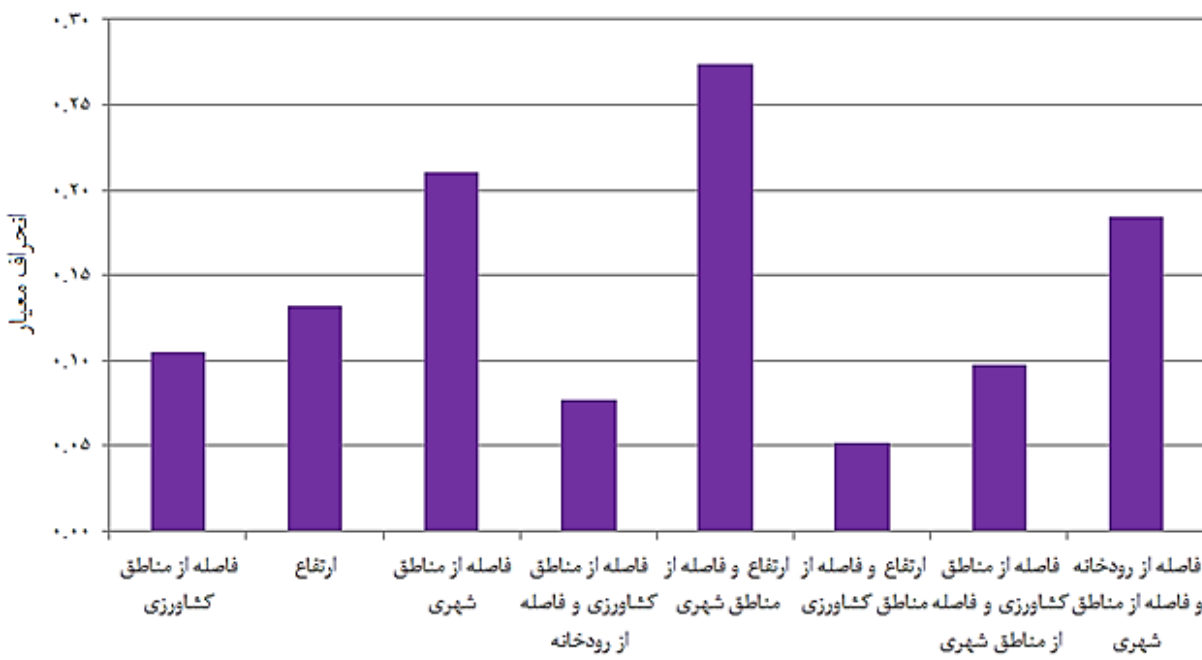
در این مطالعه، برای تشخیص محركان تغییرات کاربری اراضی پر اهمیت، یک تحلیل حساسیت انجام شد. زمانی که مدل رگرسیون انطباقی چند متغیره اسپلاین برای مجموعه داده‌های آموزشی تشکیل شد با حذف تک تک پارامترهای مربوط به هر کدام از محركان از معادله مدل تشکیل شده، مقدار تغییری که در برآش مدل (اعتبار سنجی متقاطع تعیین یافته) رخ می‌دهد محاسبه می‌گردد. محركی که دارای کمترین اثر در برآش هنگام حذف از مدل باشد به عنوان کم اهمیت‌ترین محرك انتخاب می‌شود. به همین ترتیب محركی که بعد از حذف شدن بیشترین اثر را در برآش مدل داشته باشد به عنوان پر اهمیت ترین محرك شناخته می‌شود. در شکل (۳) اهمیت متغیرها ارائه شده است. همچنین انحراف معیار هر کدام از محركان تغییرات کاربری اراضی در شکل (۴) ارائه شده است. هر چه قدر انحراف معیار مربوط به یک محرك بیشتر باشد نشان دهنده قدرت توضیحی و تبیینی بالای آن متغیر در توصیف ارتباط بین ورودی‌ها و



شکل ۲- نقشه تغییرات کاربری اراضی پیش‌بینی شده برای سال ۲۰۳۶ با استفاده از مدل بدست آمده برای بازه زمانی ۲۰۱۴ تا ۱۹۹۲. D نشان دهنده مناطق شهری موجود در سال ۲۰۱۴ و A سلوک‌های شهری توسعه یافته در سال ۲۰۳۶ می‌باشند. به همین ترتیب B مناطق کشاورزی موجود در سال ۲۰۱۴ و C سلوک‌های توسعه یافته کشاورزی در سال ۲۰۳۶ می‌باشند.



شکل ۳- درجه اهمیت محرکان تغییرات کاربری اراضی



شکل ۴- انحراف معیارهای هر کدام از محركان تغییرات کاربری اراضی

$$X_t = \frac{B}{B+D} = \frac{B}{Q} = 1 - \text{خصوصیت} \quad (7)$$

$$Y_t = \frac{A}{A+C} = \frac{A}{P} = \text{حساسیت} \quad (8)$$

که حساسیت نشان دهنده احتمال طبقه‌بندی صحیح پیکسل‌های تغییر یافته توسط مدل و خصوصیت نشان دهنده احتمال طبقه‌بندی صحیح پیکسل‌های تغییر یافته است. مساحت زیر منحنی شاخص عامل نسبی نیز طبق رابطه (۹) حاصل می‌شود [۲۹]:

$$\sum_{t=1}^{T-1} [Y_{t+1} + Y_t] [X_{t+1} - X_t] / 2 \quad (9)$$

مساحت زیر منحنی شاخص عامل نسبی برای کاربری اراضی کشاورزی و شهری با استفاده از رابطه (۹) به ترتیب برابر با ۶۱/۰٪ و ۶۵٪ بدست آمد. در شکل (۵) نمودار شاخص عامل نسبی برای کاربری‌های کشاورزی و شهری ارائه شده است.

۲-۴-۴- شاخص عامل کلی

با توجه به محدودیت‌هایی که شاخص عامل نسبی در نمایش دادن اعداد جداول احتمال برای هر حد آستانه داشت، پونتیوس و سی در سال ۲۰۱۴ [۶] شاخص عامل کلی را برای غلبه بر این محدودیت به کار برند. شاخص

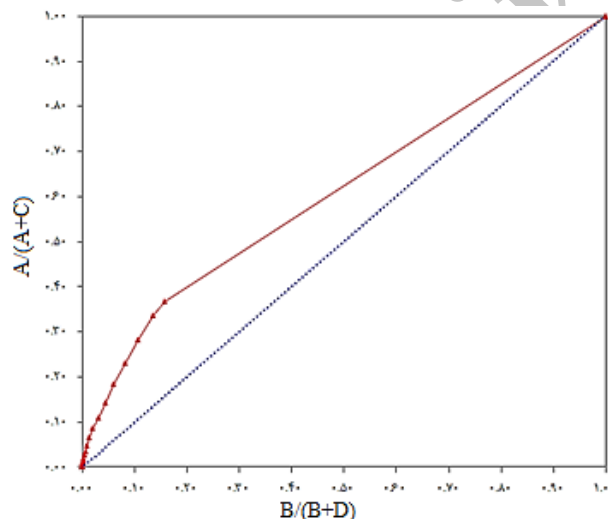
جدول ۳- جدول احتمال استفاده شده برای مقایسه نقشه شبیه-سازی شده و نقشه موجود در واقعیت

	نقشه موجود در واقعیت		
	تغییر	عدم تغییر	کل
تغییر	A	B	A + B
عدم تغییر	C	D	C + D
کل	A + C = P	B + D = Q	

۱-۴-۴- شاخص عامل نسبی

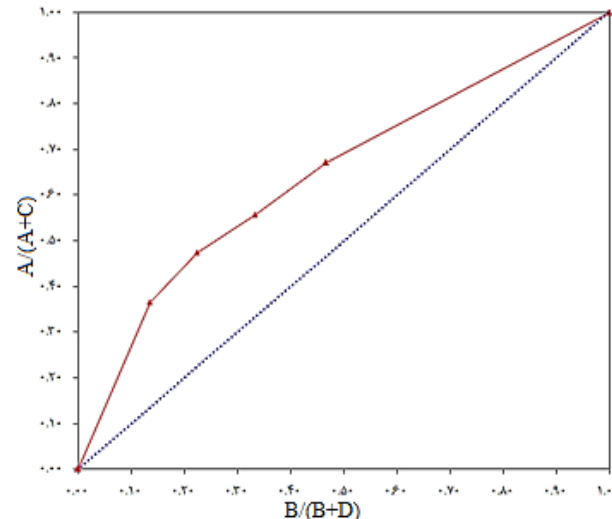
شاخص عامل نسبی با به کارگیری حدود آستانه مختلف، محدودیت تعریف یک حد آستانه منحصر به فرد را برای مسئله از بین می‌برد [۲۸]. بعد از تعریف حدود آستانه، این مقادیر به نقشه تناسب اعمال شده و مقادیری که در نقشه تناسب بزرگتر از این حد آستانه باشند تبدیل به ۱ (به معنی تغییر کاربری اراضی در پیکسل مورد نظر) و دیگر مقادیر کمتر از حدود آستانه برابر با صفر (به معنی عدم تغییر کاربری اراضی در پیکسل مورد نظر) می‌شوند. نتیجه حاصل با نقشه تغییرات کاربری اراضی در حالت واقعی مقایسه شده و جداول احتمال ۲*۲ مطابق جدول (۳) و برای هر کدام از حدود آستانه محاسبه می‌شود. بعد از ایجاد جداول احتمال، برای رسم منحنی شاخص عامل نسبی، X_t (حساسیت) و Y_t (خصوصیت) را برای حدود آستانه مختلف طبق روابط (۷) و (۸) محاسبه می‌گردد [۲۷]:

(شکل (۷)) به ترتیب برابر با $۰,۲۲۱۷۷$ ، $۱,۳۲۸۲۰$ و $۱,۰۸۹۱$ می‌باشد. همچنین مساحت زیر منحنی شاخص عامل نسبی (همان اعداد $۶۱/۰۱$ و $۶۵/۰۶$ به ترتیب برای کاربری‌های اراضی کشاورزی و شهری) برابر با، نسبت مساحت نمودار شاخص عامل کلی داخل متوازی‌الاضلاع به مساحت کل متوازی‌الاضلاع بددست آمد. نقشه خطای کاربری‌های اراضی کشاورزی و شهری را نمایش می‌دهند مشاهده می‌شود، برای رسم نمودار شاخص عامل کلی، ابتدا یک متوازی‌الاضلاع که اضلاع آن برابر با $(۰,۰)$ ، (P,P) و $(P+Q,P)$ می‌باشد رسم می‌گردد (مطابق با جدول (۳)، P برابر با $A+C$ و Q برابر با $B+D$ می‌باشد) و سپس نمودار منحنی با استفاده از x و y های محاسبه شده از جداول احتمال رسم می‌گردد. برای هر حد آستانه میتوان چهار عدد جدول احتمال را در شکل‌های (۶) و (۷) مشاهده کرد. به عنوان مثال برای حد آستانه $۰/۶۷$ ، مقادیر A ، B ، C و D (همان مقادیر جدول (۳)) در نمودار شاخص عامل کلی برای کاربری اراضی کشاورزی (شکل (۶)) به ترتیب برابر با ۲۳۳۰۴ ، ۳۹۹۵۲ ، ۳۹۹۵۳ و ۲۱۴۹۴۰ پیکسل می‌باشد. همچنین برای حد آستانه $۰/۴$ ، مقادیر A ، B ، C و D در نمودار شاخص عامل کلی برای کاربری اراضی شهری



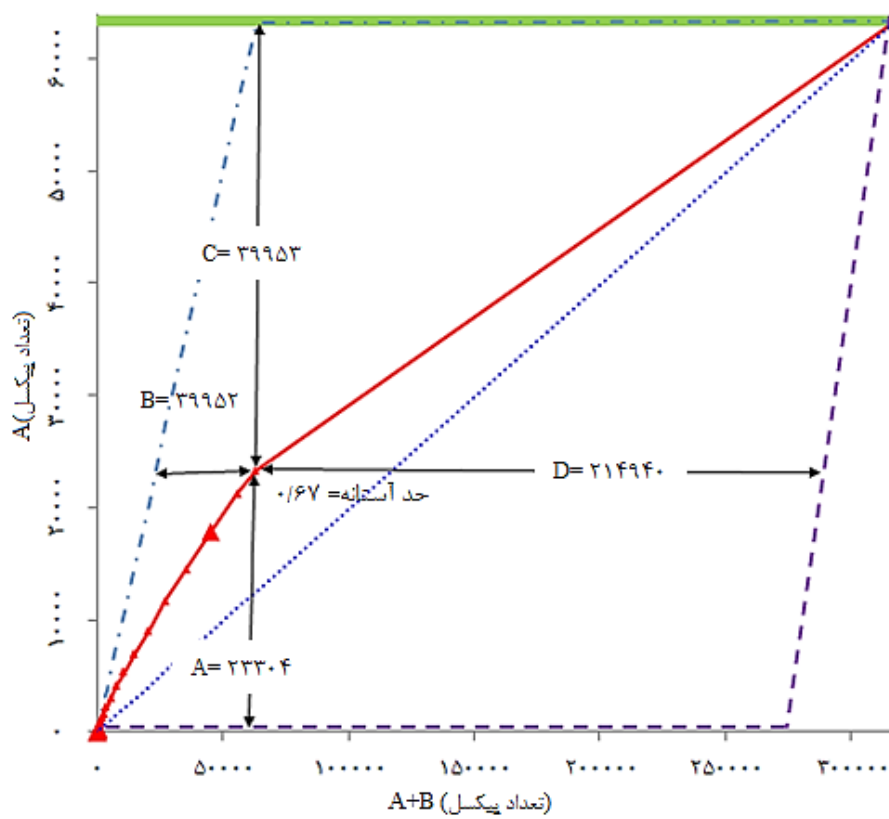
ب: شاخص عامل نسبی برای کاربری اراضی کشاورزی

عامل کلی علاوه بر نشان دادن دقیق ارائه شده بوسیله شاخص عامل نسبی، چهار عدد موجود در جداول احتمال یعنی A ، B ، C و D (جدول (۳)) را برای هر کدام از حدود آستانه نشان می‌دهد. محورهای x و y در نمودار شاخص عامل کلی به ترتیب برابر با $A+B$ و A می‌باشند. همانطور که در شکل‌های (۶) و (۷) که نمودار شاخص عامل کلی، برای کاربری‌های اراضی کشاورزی و شهری را نمایش می‌دهند مشاهده می‌شود، برای رسم نمودار شاخص عامل کلی، ابتدا یک متوازی‌الاضلاع که اضلاع آن برابر با $(۰,۰)$ ، (P,P) و $(P+Q,P)$ می‌باشد رسم می‌گردد (مطابق با جدول (۳)، P برابر با $A+C$ و Q برابر با $B+D$ می‌باشد) و سپس نمودار منحنی با استفاده از x و y های محاسبه شده از جداول احتمال رسم می‌گردد. برای هر حد آستانه میتوان چهار عدد جدول احتمال را در شکل‌های (۶) و (۷) مشاهده کرد. به عنوان مثال برای حد آستانه $۰/۶۷$ ، مقادیر A ، B ، C و D (همان مقادیر جدول (۳)) در نمودار شاخص عامل کلی برای کاربری اراضی کشاورزی (شکل (۶)) به ترتیب برابر با ۲۳۳۰۴ ، ۳۹۹۵۲ ، ۳۹۹۵۳ و ۲۱۴۹۴۰ پیکسل می‌باشد. همچنین برای حد آستانه $۰/۴$ ، مقادیر A ، B ، C و D در نمودار شاخص عامل کلی برای کاربری اراضی شهری

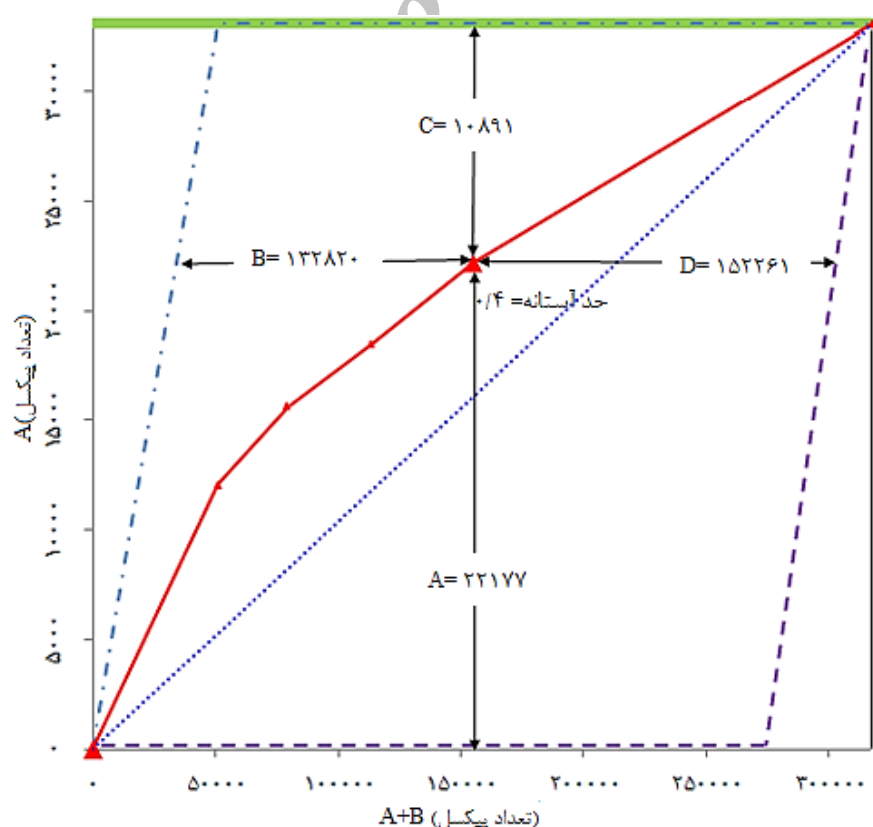


الف: شاخص عامل نسبی برای کاربری اراضی شهری

شکل ۵- شاخص عامل نسبی برای کاربری اراضی شهری (الف) و کشاورزی (ب)



شکل ۶- شاخص عامل کلی برای کاربری اراضی کشاورزی

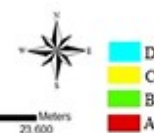


شکل ۷- شاخص عامل کلی برای کاربری اراضی شهری

الف- نقشه خطابهای کاربری اراضی شهری

Datum: WGS_84
Projection System: UTM_Zone 39N

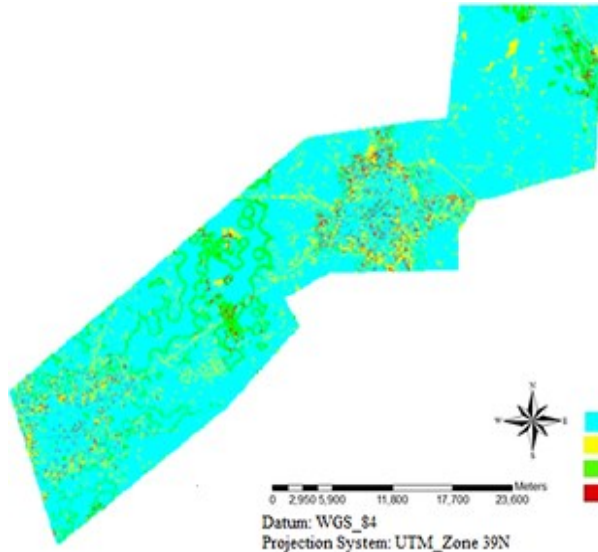
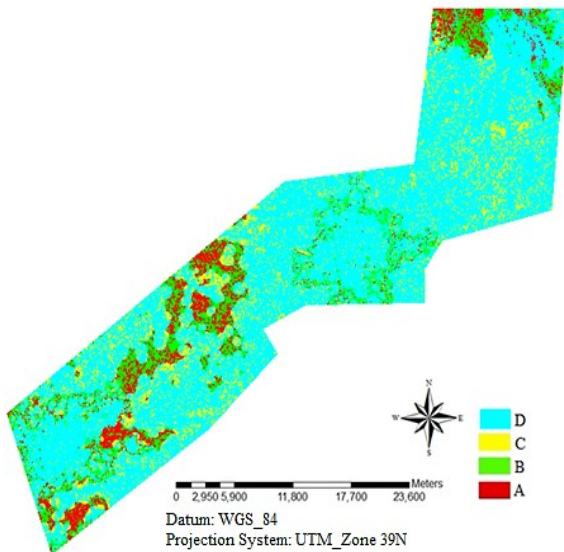
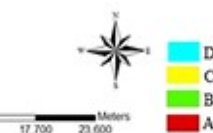
0 2,950 5,900 11,800 17,700 23,600 Meters



ب- نقشه خطابهای کاربری اراضی کشاورزی

Datum: WGS_84
Projection System: UTM_Zone 39N

0 2,950 5,900 11,800 17,700 23,600 Meters



شکل ۸- نقشه خطابهای کاربری های شهری (الف) و کشاورزی (ب). در این نقشه ها A نشان دهنده سلوهایی هست که در واقعیت دچار تغییر کاربری شده اند و مدل آنها را درست پیش بینی کرده است، B نشان دهنده سلوهایی است که به عنوان سلوهایی تغییر پیدا کرده شناسایی شده اند ولی در واقعیت تغییری نکرده اند، C نشان دهنده سلوهایی هست که به عنوان سلوهایی تغییر نیافته شناسایی شده اند ولی در واقعیت تغییر پیدا کرده اند و D نشان دهنده سلوهایی هست که به عنوان سلوهایی تغییر نیافته شناسایی شده اند و در واقعیت هم تغییر نکرده اند.

تحلیل نشان داد که چهار فاکتور فاصله از مناطق کشاورزی، فاصله از مناطق شهری، ارتفاع و فاصله از رودخانه بیشترین نقش را در فرآیند مدلسازی دارند. این نتایج می‌تواند تصمیم گیرنده‌گان محیط زیست را در اتخاذ سیاست‌های مناسب یاری کند. مدل حاصل شده برای بازه زمانی ۱۹۹۲ تا ۲۰۱۴ روی متغیرهای مستقل موجود در سال ۲۰۱۴ اعمال شد و نقشه پیش‌بینی تغییرات کاربری اراضی برای سال ۲۰۳۶ بدست آمد. این نقشه پیش‌بینی می‌تواند مدیران و برنامه‌ریزان شهری را در تخصیص منابع، احداث مراکز خدماتی و توسعه هوشمند کاربری‌های اراضی برای سال‌های آتی یاری کند. همچنین در این مطالعه شاخص عامل کلی که توسط پونتیوس و سی [۶] ارائه شده برای کلاسه‌بندی چندگانه استفاده گردید و از این شاخص برای استخراج اعداد موجود در داخل جداول احتمال استفاده شد. می‌توان گفت که دو شاخص عامل نسبی و شاخص عامل کلی با توجه به پیچیدگی تغییرات اتفاق افتاده در منطقه، جزء شاخص‌های مناسب و دقیق برای ارزیابی مدلسازی تغییرات کاربری می‌باشد.

۵- نتیجه گیری

این مطالعه، به مدلسازی تغییرات کاربری اراضی چندگانه با استفاده از تلفیقی از سیستم اطلاعات مکانی، رگرسیون انطباقی چند متغیره اسپلاین و همچنین تصاویر ماهواره‌ای در بخشی از اراضی مربوط به شمال ایران بین سالهای ۱۹۹۲ تا ۲۰۱۴ پرداخته است. در سالهای اخیر، اکثر مدلسازی‌های تغییرات کاربری، به مدلسازی تغییرات کاربری اراضی یکانه (مثل توسعه شهری) مربوط می‌شود. در حالیکه آنچه در دنیای واقعی به وقوع می‌پیوندد تغییرات کاربری اراضی چندگانه می‌باشد. بنابراین ضروری است که محققان به تحقیق و پژوهش در این زمینه بپردازند. تغییرات کاربری اراضی که در این تحقیق مدلسازی شده‌اند، مربوط به کاربری‌های اراضی شهری و کشاورزی بوده‌اند. فاکتورهایی که به عنوان محرك تغییرات کاربری اراضی در نظر گرفته شده بودند عبارتند از: ارتفاع، جهت، فاصله از مناطق شهری، فاصله از مناطق کشاورزی، فاصله از جاده‌های اصلی، فاصله از رودخانه و نهایتاً شب منطقه. بعد از انجام مدلسازی، تحلیل حساسیت روی این فاکتورها انجام شد. نتایج حاصل از این

مراجع

- [1] Geist, H., McConnell, W., Lambin, E F., Moran, E., Alves, D. and Rudel, T. (2006). "Causes and Trajectories of Land-Use/Cover Change, Land-Use and Land-Cover Change, Global Change" -The IGBP Series 2006, pp. 41-70.
- [2] Tayyebi, A. and Pijanowski, B.C. (2014). "Modeling multiple land use changes using ANN, CART and MARS: comparing tradeoffs in goodness of fit and explanatory power of data mining tools". International Journal of Applied Earth Observation and Geoinformation, Vol. 28, pp. 102-116.
- [3] Verburg, P.H., Soepbaer, W., Veldkamp, A., Limpiada, R., Espaldon, V. and Mastura, S. (2002). "Modeling the spatial dynamics of regional land use: the CLUE S model." Environmental Management. Vol. 2, No. 30, pp. 391–405.
- [4] Veldkamp, A., and Lambin, E. F. (2001). "Predicting land-use change." Agriculture, Ecosystems and Environment, VOL. 85, pp. 1–6.
- [5] Lambin, E.F. and Geist, H.J. (Eds.). (2006). "Land-use and Land-Cover Change." Local Processes and Global Impacts, Springer, Berlin.
- [6] Pontius Jr., R.G. and Si, K. (2014). "The Total Operating Characteristics to measure diagnostic ability for multiple thresholds." International Journal of Geographical Information Science, Vol. 28, No. 3, pp. 570-583.
- [7] Pijanowski, B.C., D.T. Long, S.H. Gage and W.E. Cooper. (1997). "A Land Transformation Model" Conceptual Elements, Spatial Object Class Hierarchies, GIS Command Syntax and an Application to Michigan's Saginaw Bay Watershed. Land Use Modeling Workshop. Sioux Falls, South Dakota, June 3-5, 1997. Sponsored by NCGIA and USGS.
- [8] Tayyebi, A., Delavar, M.R., Saeedi, S. and Amini, J. (2008). "Monitoring the urban expansion by multi-temporal GIS maps. In: Application of Remote Sensing and Imagery (TS 5B), Integrating Generations, FIG Working Week 2008 and FIG/ UNHABITAT Seminar."
- [9] Tayyebi, A., Delavar, M.R., Saeedi, S., Amini, J. and Alinia, H. (2008). "Monitoring land use change by multi-temporal Landsat remote sensing imagery." Int. Arch. Photogramm. Remote Sens. Spat. Inf. Sci. XXXVII.
- [10] Foroutan, E., and M. R. Delavar, (2012). "Urban growth modeling using fuzzy logic." Proc. ASPRS Annual Conference. 2012, Sacramento, California, USA.
- [11] Mohammady, S., and M R Delavar (2014). "A spatio-temporal urban growth modeling a case study: Tehran Metropolis." Journal of Settlements and Spatial Planning, Vol. 5, No. 1, pp. 83-91.
- [12] Li, X. and Yeh, A.G.O. (2002)." Neural-network-based cellular automata for simulating multiple land use changes using GIS." International Journal of Geographical Information Science, Vol. 16, No. 4, pp. 323–343.
- [13] Verburg, P.H., Soepbaer, W., Veldkamp, A., Limpiada, R., Espaldon, V. and Mastura, S. (2002). "Modeling the spatial dynamics of regional land use: the CLUE S model." Environmental Management, Vol. 30, pp. 391–405.
- [14] Ballesteros Jr., F., Qiu, Z., Nedorezova, B.N., Nedorezov, L.V., Ferrarini, A., Ramathilaga, A. and Ackah, M. (2012)." An integrated parcel-based land use change model using cellular automata and decision tree." Proc. International Academy of Ecology and Environmental Sciences, Vol. 2, No. 2, pp. 53–69.
- [15] Ralha, C.G., Abreu, C.G., Coelho, C.G., Zaghetto, A., Macchiavello, B. and Machado, R.B. (2013)."A multi-agent model system for land-use change simulation." Environmental Modeling & Software, Vol. 42, pp. 30–46.
- [16] Zha, W. and Chan, W-Y. (2005). "Objective speech quality measurement using statistical data mining." EURASIP Journal on Applied Signal Processing, Vol. 9. pp. 1410–1424.
- [17] Tayyebi, A., Pijanowski, B. C., & Tayyebi, A. H. (2011). An urban growth boundary model using neural networks, GIS and radial parameterization: An application to Tehran, Iran. Landscape and Urban Planning, Vol. 100, No. 1, pp. 35-44.

- [19] Tayyebi, A., Pijanowski, B. C., & Pekin, B. (2011). Two rule-based urban growth boundary models applied to the Tehran Metropolitan Area, Iran. *Applied Geography*, Vol. 31, No. 3, pp. 908-918.
- [20] De Vries, P. G. (1986). "Stratified random sampling", Sampling Theory for Forest Inventory, Springer. pp. 31-55.
- [21] Tayyebi, A., Pijanowski, B. C., Linderman, M. and Gratton, C. (2014). "Comparing three global parametric and local non-parametric models to simulate land use change in diverse areas of the world." *Environmental Modelling & Software*, Vol. 59, pp. 202-221.
- [22] Anderson, J. R., Hardy, E.E., Roach, J.T. and Witmer, R. E. (1976). "A land use and land cover classification system for use with remote sensor data." USDI, Geological Survey Professional Paper No. 964. Washington, DC, pp. 26-36.
- [23] Tayyebi, A. H., Tayyebi, A. and Khanna, N. (2014). "Assessing uncertainty dimensions in land-use change models: using swap and multiplicative error models for injecting attribute and positional errors in spatial data." *International Journal of Remote Sensing*, Vol. 35, No. 1, pp. 149-170.
- [24] Rifkin, R. and Klautau, A. (2004). "Parallel networks that learn to pronounce English text." *Journal of Machine Learning Research*, pp. 101–141.
- [25] Tsoumakas, G., Katakis, I. and Vlahavas, I. (2010)."Mining multi-label data." In: Maimon, O., Rokach, L. (Eds.), *Data Mining and Knowledge Discovery Handbook*. , 2nd ed. Springer, (Chapter 34).pp. 667–685.
- [26] Dietterich, T.G. and Bakiri, G. (1995)."Solving multiclass learning problems via error correcting output codes." *Journal of Artificial Intelligence Research*, Vol. 2, NO. 1, pp. 263–286.
- [27] Friedman, J.H. (1991)."Multivariate Adaptive Regression Splines (with discussion)." *Annals of Statistics* Vol. 19, No. 1 ,pp. 1-67.
- [29] Pijanowski, B.C., Pithadia, S., Shellito, B.A. and Alexandridis, K. (2005). "Calibrating a neural network based urban change model for two metropolitan areas of Upper Midwest of the United States." *International Journal of Geographical Information Science*. Vol. 19, pp. 197-215.
- [30] Pontius Jr., R.G. and Batchu, K. (2003). "Using the relative operating characteristic to quantify certainty in prediction of location of land cover change in India." *Transactions in GIS*, Vol. 4, No. 7, pp. 467-484.